

УДК 539.3

ВІКТОР ОПАНАСОВИЧ, АНДРІЙ ШЕЛЕВАЧ

ЗГИН ПЛАСТИНИ РЕЙСНЕРА З  
ПРЯМОЛІНІЙНОЮ ТРІЩИНОЮ, КРУТНИМИ  
МОМЕНТАМИ ТА ПЕРЕРІЗУВАЛЬНИМИ  
СИЛАМИ, ПРИКЛАДЕНИМИ ДО ЇЇ БЕРЕГІВ

У праці на основі методів теорії функцій комплексної змінної запропоновано спосіб зведення розв'язку задачі про згин пластини Рейснера з прямолінійною наскрізною тріщиною до системи сингулярних інтегральних рівнянь, коли до її берегів прикладені крутні моменти та перерізуvalьні сили. В праці [1] розглянуто задачу про кручення пластини з тріщиною рівномірно розподіленими на нескінченності крутнimi моментами, де розв'язок задачі зведений до парних інтегральних рівнянь, ці результати містить також [2].

**1. Формулювання задачі та її розв'язок.** Розглянемо безмежну ізотропну пластину постійної товщини  $h$ , яка містить наскрізну прямолінійну тріщину завдовжки  $2l$ . Вважаємо, що до берегів тріщини прикладено самоэрівноважене навантаження у вигляді крутних моментів та перерізуvalьних сил. Крім того, під час деформації пластини береги тріщини не контактиують, а згин пластини описується рівняннями теорії Рейснера. В середній площині пластини виберемо декартову систему координат з початком у центрі розрізу, направивши вісь  $Ox$  вздовж лінії перетину тріщини з цією площею.

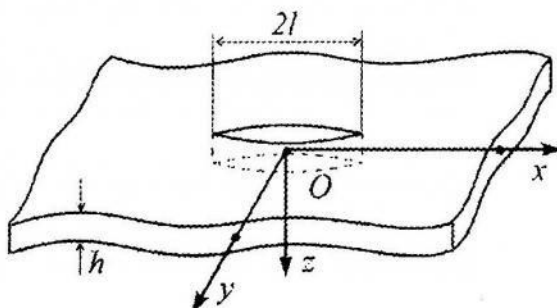


Рис.1.

Границі умови задачі матимуть вигляд:

$$M_y^\pm = 0, \quad H_{xy}^\pm = 0,5q_1(x), \quad Q_y^\pm = 0,5q_2(x), \quad |x| < l. \quad (1)$$

Тут і надалі індексами “+” і “-” позначено граничне значення відповідних функцій при  $y \rightarrow \pm 0$ ;  $M_y$  – згинальний момент;  $H_{xy}$  – крутний момент;  $Q_y$  – перерізуvalьна сила.

Крайові умови (1) перепишемо так:

$$M_y^+ - M_y^- = 0, \quad H_{xy}^+ - H_{xy}^- = 0, \quad Q_y^+ - Q_y^- = 0, \quad |x| < l; \quad (2)$$

$$M_y^+ + M_y^- = 0, \quad H_{xy}^+ + H_{xy}^- = q_1(x), \quad Q_y^+ + Q_y^- = q_2(x), \quad |x| < l. \quad (3)$$

Якщо ввести в розгляд комплексні потенціали  $\Phi(z) = \phi'(z)$ ,  $\Psi(z) = \psi'(z)$  та функцію  $\Omega(z, \bar{z})$  [2,3], то згинальні та крутні моменти, перерізувальні сили визначимо на підставі формул  $M_y + M_x = 2m[\Phi(z) + \overline{\Phi(z)}]$ ,

$$M_y + iH_{xy} = m[\Phi(z) + \overline{\Phi(z)}] + n[z\overline{\Phi'(z)} + \overline{\Psi(z)}] + \rho[2\overline{\Phi''(z)} + i\frac{\partial^2 \Omega(z, \bar{z})}{\partial z^2}], \quad (4)$$

$$Q_x - Q_y = -2D[2\Phi'(z) - i\frac{\partial \Omega(z, \bar{z})}{\partial z}], \quad (5)$$

$$\text{де} m = -D(1 + \nu); \quad n = D(1 - \nu); \quad \rho = \frac{4D}{k^2}; \quad k = \frac{\sqrt{10}}{h}; \quad D = \frac{Eh^3}{12(1 - \nu^2)};$$

$$z = x + iy; \quad \bar{z} = x - iy; \quad i = \sqrt{-1}; \quad \frac{\partial}{\partial z} = \frac{1}{2} \left( \frac{\partial}{\partial x} - i\frac{\partial}{\partial y} \right); \quad E, \nu - \text{відповідно}$$

модуль пружності та коефіцієнт Пуассона матеріалу пластини.

Подамо функції  $\Phi(z)$  та  $\Omega(z, \bar{z})$  у вигляді

$$\Phi(z) = \frac{1}{2\pi i} \int_{-l}^l \frac{f(t)dt}{t - z}, \quad (6)$$

$$\Omega(z, \bar{z}) = -\frac{1}{\pi} \operatorname{Re} \left[ \int_{-l}^l \mu(t) \frac{WK_1(W)}{t - z} dt \right], \quad (7)$$

де  $\mu(t), f(t)$  – невідомі дійсні функції;  $W = k\sqrt{(t - x)^2 + y^2}$ ;  $K_j(x)$  – функція Макдональда  $j$ -го порядку.

Введемо у розгляд функцію

$$V(z) = q\overline{\Phi}(z) + z\overline{\Phi'(z)} + \overline{\Psi}(z) + n_1\tilde{q}(z), \quad (8)$$

причому

$$\begin{aligned} \tilde{q}(z) &= -\frac{1}{\pi i} \int_{-l}^l \frac{\tilde{s}(t)dt}{(t - z)^3}, \quad \overline{\Phi}(z) = \overline{\Phi(\bar{z})}, \quad \tilde{s}(t) = -2f(t) + \mu(t), \\ q &= -\frac{1 + \nu}{1 - \nu}, \quad n_1 = \frac{2h^2}{5(1 - \nu)}. \end{aligned}$$

Враховуючи (8), формулу (4) подамо у вигляді

$$M_y + iH_{xy} = n[q\Phi(z) + V(\bar{z}) + (z - \bar{z})\overline{\Phi'(z)} + in_1\overline{\Omega_1(z, \bar{z})}], \quad (9)$$

де

$$\Omega_1(z, \bar{z}) = -\frac{1}{2\pi} \int_{-l}^l \frac{W[2\tilde{K}_1(W) + WK_0(W)]\mu(t)}{(t - z)^3} dt +$$

$$+\frac{k^2}{4\pi}Re \left[ \int_{-l}^l \frac{WK_1(W)\mu(t)}{t-z} dt \right] + \frac{k^6}{2\pi} \int_{-l}^l \frac{(x-t)^2}{W^3} K_1(W)(\bar{z}-t)\mu(t)dt,$$

$$\tilde{K}_1(W) = K_1(W) - \frac{1}{W}.$$

Враховуючи (6) і (7), формулу (5) перепишемо так:

$$Q_x - iQ_y = 2D[P(z) + i\tilde{\Omega}(z, \bar{z})], \quad P(z) = \frac{1}{2\pi i} \int_{-l}^l \frac{\delta(t)dt}{(t-z)^2}, \quad (10)$$

$$\tilde{\Omega}(z, \bar{z}) = \frac{1}{2\pi} \int_{-l}^l \left[ \frac{W^2 \tilde{K}'_1(W)}{(t-z)^2} + \frac{ik^4 y(t-\bar{z}) K_0(W)}{W^2} \right] \mu(t)dt,$$

де  $\delta(t)$  – невідома дійсна функція.

Функцію  $V(z)$  шукатимемо у вигляді

$$V(z) = \frac{1}{2\pi} \int_{-l}^l \frac{g(t)dt}{t-z}, \quad (11)$$

де  $g(t)$  – невідома дійсна функція. Використовуючи граничні умови (2) та враховуючи (6), (9) – (11), матимемо

$$g(t) = qf(t), \quad t \in [-l, l], \quad (12)$$

при цьому вважаємо, що  $\delta(\pm l) = 0$ .

Задовільняючи крайові умови (3) та враховуючи (6), (9) – (12), одержимо систему сингулярних інтегральних рівнянь для знаходження невідомих функцій  $f(t)$  і  $\delta(t)$

$$\frac{1}{\pi} \int_{-l}^l \frac{2q - k^2 n_1 W \tilde{K}'_2(W)}{t-x} f(t)dt + \frac{n_1 k^2}{2\pi} \int_{-l}^l \tilde{K}'_2(W) \delta'(t)dt = -\frac{1}{n} q_1(x), \quad (13)$$

$$\frac{2kD}{\pi} \left[ -\frac{1}{k} \int_{-l}^l \frac{WK_1(W)}{t-x} \delta'(t)dt + 2k \int_{-l}^l \tilde{K}'_1(W) f(t)dt \right] = -q_2(x), \quad (x \in [-l, l]),$$

де

$$\tilde{K}_2(W) = K_2(W) - \frac{2}{W^2}, \quad W = k|t-x|.$$

Систему рівнянь (13) доповнюємо додатковими залежностями

$$\int_{-l}^l f(t)dt = 0, \quad m_1 \int_{-l}^l t f(t)dt - n_1 \int_{-l}^l \delta'(t)dt = 0, \quad m_1 = \frac{4}{1-\nu}, \quad (14)$$

які відображають однозначність прогину і кутів повороту [4].

**2. Числовий аналіз задачі.** Розв'язок системи рівнянь (13), (14) шукатимемо за допомогою методу механічних квадратур [5,6]. Для прикладу розглянемо

два випадки прикладання навантаження до берегів тріщини. У першому до берегів тріщини прикладені сталі крутні моменти  $H$  і тому розв'язок системи рівнянь (13), (14) подамо у вигляді

$$f(lt) = -\frac{2H}{n} \frac{u(t)}{\sqrt{1-t^2}}, \quad \delta'(lt) = -\frac{2H}{nl} \frac{v(t)}{\sqrt{1-t^2}}, \quad |t| < 1;$$

у другому випадку до берегів тріщини прикладені сталі перерізувальні сили  $Q$  і розв'язок системи рівнянь (13), (14) доцільно подати у вигляді

$$f(lt) = -\frac{Q}{kD} \frac{u(t)}{\sqrt{1-t^2}}, \quad \delta'(lt) = -\frac{Q}{lkD} \frac{v(t)}{\sqrt{1-t^2}}, \quad |t| < 1.$$

Тут  $u(t)$  і  $v(t)$  – невідомі функції, для знаходження вузлових значень яких матимемо систему лінійних алгебраїчних рівнянь

$$\begin{aligned} \frac{1}{M} \sum_{m=1}^M [u(t_m) K_{j1}(t_m, x_r) + v(t_m) K_{j2}(t_m, x_r)] &= C_j, \quad j = 1, 2, \quad r = \overline{1, M-1}, \\ \sum_{m=1}^M u(t_m) &= 0, \quad m_1 \sum_{m=1}^M t_m u(t_m) - n^* \sum_{m=1}^M v(t_m) = 0, \end{aligned} \quad (15)$$

де  $C_1 = 1, C_2 = 0$  для першого випадку;  $C_1 = 0, C_2 = 1$  для другого випадку навантаження тріщини;

$$\begin{aligned} t_m &= \cos \frac{2m-1}{2M}\pi, \quad x_r = \cos \frac{\pi r}{M}, \\ K_{11}(t, x) &= \frac{2q + m_1[2\tilde{K}_2(W) - |x-t|K_1(W)]}{t-x}, \\ K_{12}(t, x) &= n_2\tilde{K}_2(W), \quad K_{21}(t, x) = \frac{2}{\lambda} \left( \frac{1}{W}\tilde{K}_1(W) - \tilde{K}_2(W) \right), \\ K_{22}(t, x) &= -\lambda \frac{WK_1(W)}{t-x}, \quad K_1(W) = \frac{1}{W} + \tilde{K}_1(W), \\ n^* &= \lambda^2 m_1, \quad n_2 = 2m_1, \quad W = \frac{1}{\lambda}|t-x|, \quad \lambda = \frac{h}{l\sqrt{10}}. \end{aligned}$$

Згідно з [7] функції  $\tilde{K}_1(W)$  і  $\tilde{K}_2(W)$  мають вигляд

$$\begin{aligned} \tilde{K}_1(W) &= \sum_{n=0}^{\infty} \left[ -\sum_{k=1}^n \frac{1}{k} - \frac{1}{2(n+1)} + C + \ln \frac{W}{2} \right] \frac{(\frac{W}{2})^{2n+1}}{n!(n+1)!}, \\ \tilde{K}_2(W) &= -\frac{1}{2} - \sum_{k=0}^{\infty} \frac{1}{k!(k+2)!} \left( \frac{W}{2} \right)^{2(k+1)} \left[ \ln \frac{W}{2} + C - \right. \\ &\quad \left. - \sum_{j=1}^k \frac{1}{j} - \frac{2k+3}{2(k+1)(k+2)} \right], \end{aligned}$$

де  $C$  – стала Ейлера.

Розподіл силових і моментних чинників поблизу вістря тріщини має вигляд [8]

$$\begin{aligned} M_x - M_y - 2iH_{xy} &= \frac{0,5(K_M^{(p)} - iK_H^{(p)})\bar{z}_j}{\sqrt{2z_j^3}} - \frac{0,5(K_M^{(p)} + 3iK_H^{(p)})}{\sqrt{2z_j}} + O(1), \\ M_x + M_y &= 2Re[(K_M^{(p)} - iK_H^{(p)})/\sqrt{2z_j}] + O(1), \\ Q_x - iQ_y &= -\frac{iK_Q^{(p)}}{\sqrt{2z_j}} + O(1), \end{aligned}$$

де  $z_j = re^{i\theta}$ ;  $r, \theta$  – полярні координати точки з початком у вершині тріщини;  $K_M^{(p)}, K_H^{(p)}, K_Q^{(p)}$  – коефіцієнти інтенсивності моментів та перерізуvalьних сил, які для першого випадку визначаємо за формулами

$$K_M^{(p)} = 0, \quad K_H^{(p)} = h\sqrt{l}F_2(\lambda, \nu), \quad K_Q^{(p)} = \frac{\sqrt{10}H\sqrt{l}}{h(1+\nu)}F_3(\lambda, \nu),$$

і для другого випадку навантаження тріщини

$$K_M^{(p)} = 0, \quad K_H^{(p)} = \frac{1}{2}\frac{(1-\nu)Qh\sqrt{l}}{\sqrt{10}}F_2(\lambda, \nu), \quad K_Q^{(p)} = \frac{1}{2}\frac{1-\nu}{1+\nu}Q\sqrt{l}F_3(\lambda, \nu).$$

У попередніх формулах введено позначення

$$F_2(\lambda, \nu) = -2\frac{1+\nu}{1-\nu}u(1), \quad F_3(\lambda, \nu) = 2\lambda\frac{1+\nu}{1-\nu}v(1), \quad (16)$$

де

$$\begin{pmatrix} u(1) \\ v(1) \end{pmatrix} = \sum_{m=1}^M (-1)^{m+1} \begin{pmatrix} u(t_m) \\ v(t_m) \end{pmatrix} \operatorname{ctg} \frac{2m-1}{4M}\pi.$$

Для чисельного розв'язання системи лінійних алгебраїчних рівнянь (15) та для обчислення переходних функцій  $F_2(\lambda, \nu), F_3(\lambda, \nu)$  (16) і приведених коефіцієнтів інтенсивності напружень

$$K_H^* = \frac{K_H^{(p)}}{Q\sqrt{l^3}}, \quad K_Q^* = \frac{K_Q^{(p)}}{Q\sqrt{l}}$$

було використано пакет прикладних програм "Delphi". Результати аналізу подано в табл. та на рис. 2 і 3. У таблиці наведено значення функцій  $2F_2(\lambda, \nu), F_3(\lambda, \nu)$  залежно від параметра  $\lambda = \frac{h}{l\sqrt{10}}$  та коефіцієнта Пуассона  $\nu$  для різної розмірності  $M$  матриці системи лінійних алгебраїчних рівнянь (15) і постійному крутному моментові на її берегах. Друга стрічка для кожної функції відповідає  $M=30$ , третя  $M=100$ , збільшення  $M$  у два рази вже не призводить до покращення числових значень. Жирним шрифтом (перша стрічка) наведено результати праці [1]. Як видно з табл., деякі результати цієї праці збігаються з результатами публікації [1], а деякі відрізняються, що зумовлено недостатньою точністю виконаних у ній обчислень. Крім того, при  $\lambda > 0.2$  для функції  $F_2(\lambda, \nu)$  можна обмежитись, наприклад,  $M = 30$ , а от для малих  $\lambda$  потрібно  $M$  збільшувати, це ж стосується до значень функції  $F_3(\lambda, \nu)$  при різних параметрах  $\lambda$  і  $\nu$ .

Графіки зміни приведених коефіцієнтів інтенсивності напружень  $K_H^*$  і  $K_Q^*$  залежно від параметра  $\lambda$  при різних значеннях  $\nu$  зображені на рис. 2 і 3 при дії

$\nu$		$\lambda$					
		0,05	0,2	1	1,5	2	2,5
0	$-F_3$	<b>0,1051</b>	<b>0,1167</b>	<b>0,02824</b>	-	-	-
		0,14768	0,11506	0,01065	0,00415	0,00207	0,00119
		0,12294	0,10565	0,00924	0,00340	0,00159	0,00092
	$2F_2$	<b>0,1471</b>	<b>0,3576</b>	<b>0,7692</b>	-	-	-
		0,14494	0,39440	0,42532	0,35227	0,29886	0,25931
		0,15868	0,39480	0,42532	0,35227	0,29886	0,25931
0,25	$-F_3$	<b>0,1312</b>	<b>0,1382</b>	<b>0,02995</b>	-	-	-
		0,18146	0,13673	0,01263	0,00497	0,00249	0,00145
		0,15170	0,12557	0,01119	0,00420	0,00200	0,00111
	$2F_2$	<b>0,1647</b>	<b>0,3983</b>	<b>0,8050</b>	-	-	-
		0,17720	0,47032	0,50478	0,42175	0,36011	0,31395
		0,19232	0,47073	0,50478	0,42175	0,36011	0,31395
0,5	$-F_3$	<b>0,1567</b>	<b>0,1575</b>	<b>0,0302</b>	-	-	-
		0,21417	0,15637	0,01440	0,00572	0,00288	0,00168
		0,17966	0,14363	0,01277	0,00483	0,00231	0,00129
	$2F_2$	<b>0,1807</b>	<b>0,4336</b>	<b>0,8313</b>	-	-	-
		0,20815	0,53950	0,57659	0,48560	0,41711	0,36528
		0,22428	0,53990	0,57659	0,48561	0,41711	0,36528

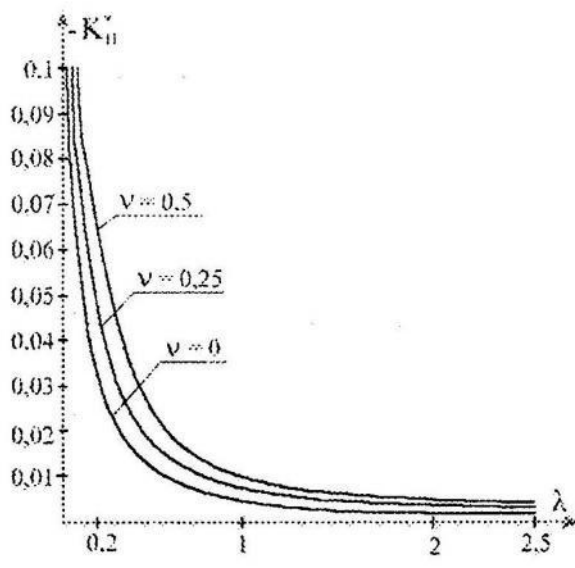


Рис. 2.

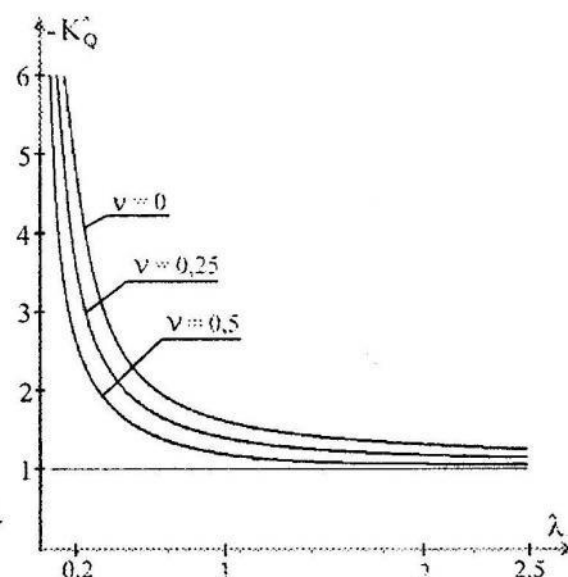


Рис. 3.

сталої на берегах тріщини перерізувальної сили  $Q$ . Як видно з графіків, зі зменшенням параметра  $\lambda$ , тобто зі зменшенням товщини пластиини або збільшенням

довжини тріщини, значення коефіцієнтів збільшуються за абсолютною величиною.

1. Wang N.M. Twisting of an elastic plate containing a crack// Int. J. Fract. Mech. – 1970. – Vol.6. – N4. – P.367–378.
2. Бережницкий Л.Т., Делявский М.В., Панасюк В.В. Изгиб тонких пластин с дефектами типа трещин. – К., 1979.
3. Угодчиков А.Г., Соболев В.А. Концентрация напряжений около отверстий в плитах по теории Рейсснера //Прикл. механика. – 1972. – Т.8. – N6. – С. 58–66.
4. Тимошенко С.П., Войновски-Кригер. Пластины и оболочки. – М., 1966.
5. Панасюк В.В., Саврук М.П., Дашишин А.П. Распределение напряжений около трещин в пластинах и оболочках. – К., 1976.
6. Саврук М.П. Двумерные задачи упругости для тел с трещинами. – К., 1981.
7. Градштейн И.С., Рыжик И.М. Таблицы интегралов, сумм, рядов и произведений. – М., 1971.
8. Мазурек Л.П., Бережницкий Л.Т. Изгиб трансверсально-изотропных пластин с дефектами типа трещин. – К., 1990.

**V. Opanasovych, A. Shelevach**

**BEND OF THE REYSSNER'S PLATE  
WITH A RECTILINEAL CRACK BY ROTATIONAL MOMENTS  
AND CUTTING POWERS EXERTED TO ITS SIDES**

In the work with use of function theory system of complex variable the problem of bend of a isotropic plate with a crack according to Reyssner's theory has been studied, when to its sides rotational moments and cutting powers were exerted. The problem solution comes to a system of singular integral equations which are solved numerically with help of the method of mechanic quadratures. For constant load on the sides of the crack both a numerical analysis of transient functions connected with intensity coefficients of moments and cutting powers by different quantity of geometrical and mechanical problem parameters and a comparison of results with ones known in publications have been carried out.

Стаття надійшла до редколегії 07.07.99